

Technische Informatik 2 - Rechnerarchitektur

Eigenes Skript

Studiengang Angewandte Informatik

Duale Hochschule Baden-Württemberg Karlsruhe

von

Andre Meyering

Kurs: TINF16B2
Dozent: Prof. Dr. Jürgen Röthig
Semester: 3. Semester (09.10.2017)
letzte Änderung: 20. November 2017

Dies ist das eigene Skript für „Rechnerarchitektur“ bei Herrn Prof. Dr. Jürgen Röthig für das 3. Semester im Jahr 2017. Es enthält fast alles, was im Unterricht an die Tafel geschrieben oder besprochen wurde. Die \LaTeX -Dateien sollten sich im gleichen Share befinden, in dem du diese PDF-Datei gefunden hast.

Bei Fragen, Fehlern oder Ergänzungen – oder sollten die \LaTeX -Dateien fehlen – wende dich bitte an dhbw@andremeyering.de. Ich hoffe, diese PDF hilft dir beim Lernen.

Inhaltsverzeichnis

1	Vorwort	1
2	Einstieg in die Vorlesung	2
2.1	Digitaltechnik (Vorlesung)	2
2.2	Übersicht	2
3	Rechner	3
3.1	Geschichte	3
3.2	Fundamentalarchitektur	4
4	Rechenwerk / Rechnen in Hardware	8
4.1	Schaltnetzsynthese – Wiederholung / Grundlegendes	8
4.2	Halbaddierer	9
4.3	Volladdierer	9
4.4	Paralleladdierer (4-Bit-Ripple-Carry-Paralleladdierer RC-PA)	10
4.5	Paralleladdierer (4-Bit-Carry-Look-Ahead-Paralleladdierer CLA-PA)	11
4.6	Serielladdierer	14
4.7	Subtraktion	16
4.8	Multiplikation	17
4.9	Division	21
4.10	CPUs	21
5	Speicher in Computern	22
5.1	Speicherhierarchie	22
5.2	Sekundärspeicher	22
5.3	CPU-Cache	22
6	Abkürzungsverzeichnis	30
	Listingsverzeichnis	33
	Stichwortverzeichnis	34

1 Vorwort

Herr Röthig schreibt alles, was für seine Klausuren von Bedeutung ist, an die Tafel. Es ist daher nur zu empfehlen, alles mitzuschreiben, da er kein Skript besitzt und auch keinen Foliensatz. Der Unterricht ist im Vergleich zu anderen Dozenten unterscheidet sich darin, dass während der Klausur keine Hilfsmittel verwendet werden dürfen. Dafür besteht die Klausur zu 90% nur aus Abfrageaufgaben.

Dieses Skript enthält *alles*, was Herr Röthig 2017 an Wissen voraussetzt. Auf den letzten Seiten dieses Skripts findet sich zusätzlich noch eine Übungsklausur. Die Klausuren unterscheiden sich jedes Jahr nur um einige wenige Aufgaben. Ist man zwei, drei Übungsklausuren durchgegangen, so ist die Klausur einfach zu bestehen.

Zusammen mit meinem Kurs TINF16B2 haben wir dieses Skript ausgedruckt und korrigiert. Inhaltliche Fehler sollten daher (fast) keine mehr enthalten sein.

Ich wünsche dir viel Erfolg bei Herrn Röthig im Fach Rechnerarchitektur (Technische Informatik 2). Solltest du diese Skript erweitern wollen, so kannst du dich an dhbw@andremeyering.de wenden.

2 Einstieg in die Vorlesung

Dozent: Prof. Dr. Jürgen Röhlig
Modul: Technische Informatik II
Fach: Rechnerarchitektur

2.1 Digitaltechnik (Vorlesung)

- 36h/33h / 4h pro Woche
- Klausur: 21.12.2017 | 60min (ohne Hilfsmittel, Verrechnung mit Betriebssysteme)
- kein Skript, kein Foliensatz

2.2 Übersicht

1. Einführung, Begriffsbildung, Historie, Fundamentalarchitektur
2. Rechenwerke
3. Speicherwerk: Hauptspeicherorganisation
Speicher: Cache, nicht-flüchtige Speichertechnologie
4. ausgewählte Kapitel aus Steuer-/Ein- und Ausgabewerke sind in 2 + 3 enthalten.

3 Rechner

Rechner

Hilfsmittel zum Durchführen von „Rechnungen“.

- schneller
- fehlerfreier
- besseres Speichervermögen

Rechenmaschine

- Abakus (mechanisch, digital)
- Rechenschieber (mechanisch, analog)

Arbeitsweise

Man unterscheidet zwischen „mechanisch vs elektrisch“ und „digital vs analog“. Moderne „Rechner“ (PC & Co.) arbeiten elektrisch und digital. Dem gegenüber stehen elektrische Analogrechner, die um die 1920er genutzt wurden.

3.1 Geschichte

3.1.1 Elektrischer Digitalrechner

ZUSE Z1, Z2 (ab ~1940)

Relais als zentrale Bauteile (elektromagnetischer Schalter mit Elektromagnet)

- ⊕ Automatismus möglich
- ⊖ langsame Geschwindigkeit
- ⊖ großer Platzverbrauch
- ⊖ Geräusche beim Schalten
- ⊖ hoher Energieverbrauch beim Schalten
- ⊖ großer Verschleiß

ENIAC (~1945)

Die ENIAC besitzt als zentrales Bauteil eine Elektronenröhre. Eine Elektronenröhre ist ein eigentlich analog arbeitender Verstärker, wird hier aber als digitaler Schalter genutzt. Die Funktionsweise wird in Abbildung 3.1 dargestellt, wobei die Kathode negativ und die Anode positiv geladen sind.

- ⊕ sehr hohe Geschwindigkeit
- ⊖ großer Platzverbrauch
- ⊖ ständiges Summen bei 50Hz oft möglich
- ⊖ hoher, ständiger Energieverbrauch
- ⊖ großer Verschleiß

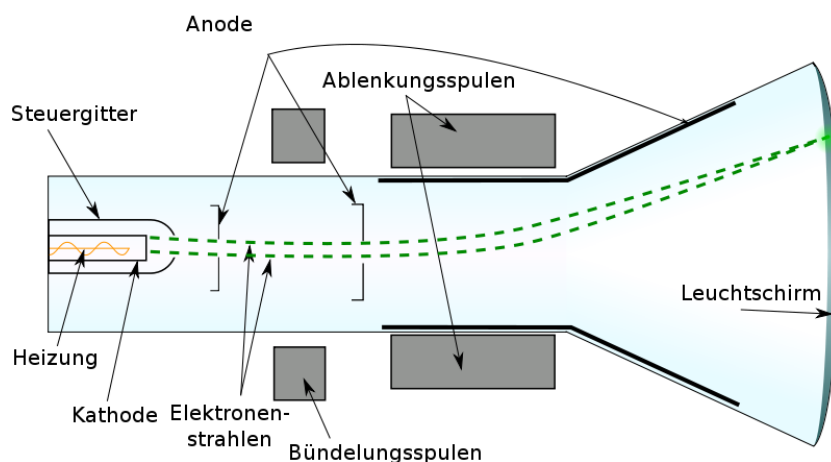


Abbildung 3.1: Funktionsweise Kathodenstrahlröhre [Quelle: Wikipedia]

Moderne Rechner Moderne transistorisierte Digitalrechner (z. B. UNIVAC ab Ende der 1950er).

- Transistor als zentrales Bauteil. Ein Transistor ist ein analog arbeitender Verstärker, wird hier aber als digital arbeitender Schalter genutzt.
- ⊕ sehr hohe Geschwindigkeit
- ⊕ sehr geringer Platzverbrauch
- ⊕ keine Geräuschentwicklung (außer Lüfter)
- ⊕ sehr niedriger Energieverbrauch
- ⊕ geringer Verschleiß

3.2 Fundamentalarchitektur

3.2.1 von-Neumann-Architektur

In Abbildung 3.2 wird die von-Neumann-Architektur vereinfacht dargestellt. Diese besteht aus:

Zentraleinheit (CPU) Die CPU besteht aus:

Rechenwerk Rechnen mit Zahlen und logischen Werten

Steuerwerk Zuständig für das Steuern und Koordinieren aller anderen Komponenten ⇒ Interpretation und Ausführung des (Maschinensprachen-)Programms

Speicherwerk (Hauptspeicher, Primärspeicher)

Speichern von Informationen (sowohl Programmcode als auch Nutzdaten gleichermaßen)

Bus verbindet alle Komponenten und ermöglicht den Informationsaustausch/Datenfluss zwischen ihnen.

Eingabewerk „Schnittstelle“ für Eingabegeräte (z. B. USB-Controller, S-ATA-Controller) nicht jedoch das Peripheriegerät selbst (also nicht die Tastatur)

Ausgabewerk „Schnittstelle“ für Ausgabegeräte (z. B. Grafikkarte)

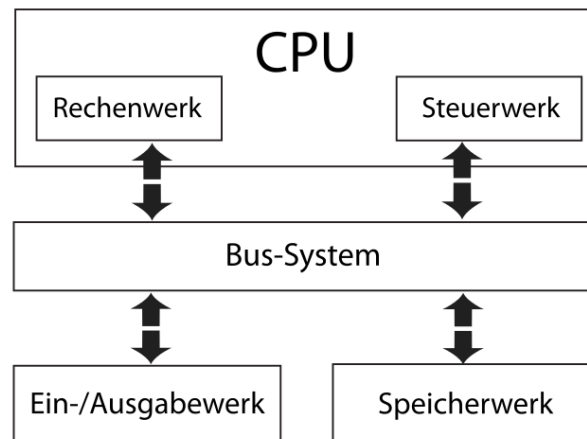


Abbildung 3.2: Vereinfachte Darstellung der von-Neumann-Architektur

3.2.2 Harvard-Architektur

Die Harvard-Architektur ist ähnlich der von-Neumann-Architektur, besitzt aber anstatt eines gemeinsamen, zwei getrennte Speicherwerke für Nutzdaten und Programmcode. Zusätzlich kann noch ein optionales zweites Eingabewerk existieren, welches nur für den Programmcode vorhanden ist. Das Speicher- und Eingabewerk für den Programmcode wird über einen zweiten Bus angebunden.

Dadurch ist eine klare physikalische Trennung von Programmcode und Nutzdaten möglich. Abbildung 3.3 auf der nächsten Seite zeigt die Harvard-Architektur und wie sich diese von der von-Neumann-Architektur unterscheidet.

3.2.3 Vergleich

Tabelle 3.1 auf Seite 7 vergleicht die von-Neumann-Architektur mit der Harvard-Architektur.

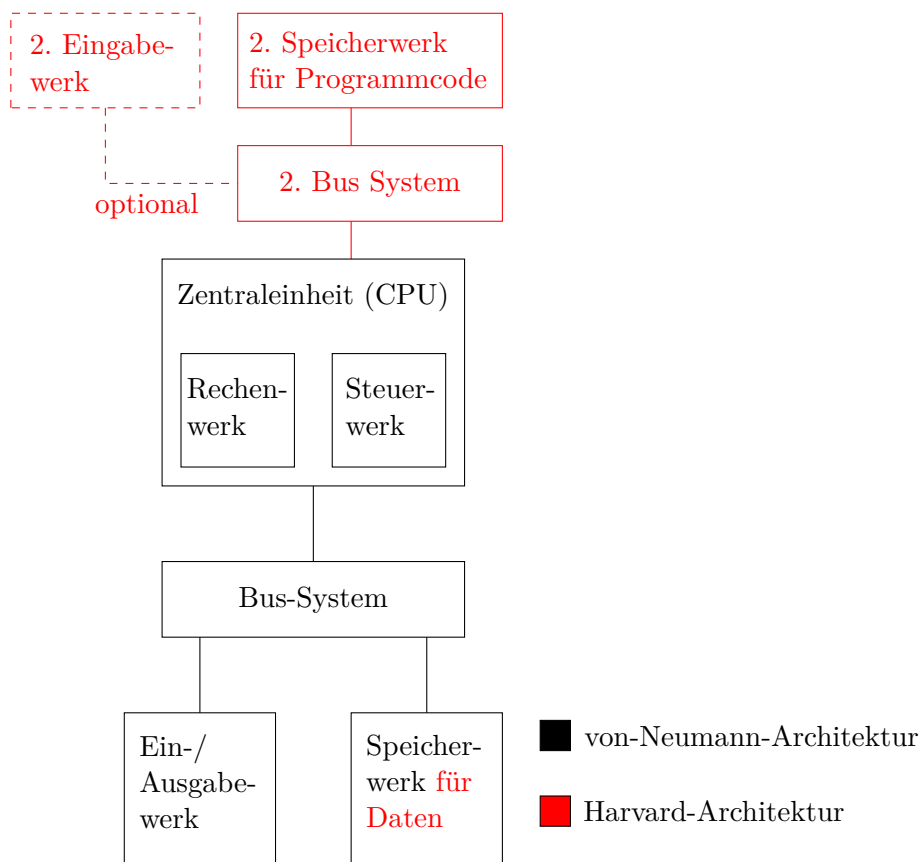


Abbildung 3.3: Vereinfachte Darstellung der Harvard-Architektur

von-Neumann-Architektur	Harvard-Architektur
<ul style="list-style-type: none"> ⊖ Virenanfälligkeit: Nutzdaten können als Programm ausgeführt werden ⊕ universelle Programmierbarkeit (z. B. Compiler-Ausgabe wird als Programme ausgeführt) ⊕ flexible Speicheraufteilung zwischen Programmcode und Daten ⊖ möglicher Flaschenhals Bus & Speicherwerk ⊕ kostengünstig 	<ul style="list-style-type: none"> ⊕ nahezu immun gegen unabsichtlichen Virenbefall ⊕ keine (unbeabsichtigten oder ungewollten) Änderungen an der Betriebssoftware möglich ⊖ komplexer und teurer (durch 2 Bus und ggf. 2 Eingabewerke) ⊖ schwer update-fähig ⊕ bessere Performance möglich durch gleichzeitigen Zugriff auf beide Speicherwerke ⊖ ohne zweites Eingabewerk keine Möglichkeit anderen Programmcode auszuführen. ⊖ unflexible Aufteilung des Speichers, wenn das eine Speicherwerk voll ist, kann das andere Speicherwerk nicht genutzt werden.
Einsatz	
<ul style="list-style-type: none"> • übliche PC-Architektur – „Universal-PC“ 	<ul style="list-style-type: none"> • „embedded systems“ (z. B. in Waschmaschinen, KFZ-Elektronik, etc.) • Smartphones & Co. • Bestandteile von PCs: BIOS, CPU-Cache in modernen CPUs (Trennung in Cache für Programmcode und Nutzdaten), NX-Flag (Non-Executable) im Hauptspeicher

Tabelle 3.1: Vergleich der von-Neumann- und Harvard-Architektur

4 Rechenwerk / Rechnen in Hardware

Grundlagen: Addition

	4 7 1 1	Die Addition von mehrstelligen Zahlen wird reduziert auf die Addition von zwei (oder drei) einstelligen Zahlen (bzw. Ziffern) zu einer einstelligen Zahl sowie einem einstelligen Übertrag, also einer zweistelligen Zahl als Ergebnis \Rightarrow genauso funktioniert dies im Binärsystem.
	+ 0 8 1 5	
Übertrag	0 1 0 0	
	5 5 2 6	

Hinweis

Herr Röhlig meint mit „einstellig“ und „mehrstellig“ die Anzahl der Zahlen und nicht die Stellenanzahl einer einzelnen Zahl. Im Beispiel oben werden zwei Zahlen addiert und daraus ergeben sich zwei weitere Zahlen als Ergebnis.

4.1 Schaltnetzsynthese – Wiederholung / Grundlegendes

Schaltnetz Kann nur die derzeitigen Eingangsdaten verarbeiten, da keine Rückkopplung vorliegt

Schaltwerk „Hat ein Gedächtnis“, da eine Rückkopplung vorliegt

Vollkonjunktion/Minterm UND-Verknüpfung aller vorkommenden Variablen entweder in negierter oder nicht-negierter Form

Disjunktive Normalform (DNF) Eine Disjunktion (ODER-Verknüpfung) von Konjunktionstermen (UND-Verknüpfungen).

Disjunktive Minimalform (DMF) Ist die minimale Darstellung einer Ausgabefunktion und damit eine Vereinfachung einer DNF

4.1.1 Schaltungsanalyse

Eine Schaltungsanalyse ist die Bestimmung des „Aufwands“. Dabei kann der Aufwand sein:

- „Hardware-Aufwand“ (in Anzahl an Transistoren)
- Zeitaufwand (in Gatterlaufzeit)

4.1.2 Warum soll der Zeitaufwand analysiert werden?

Es wird der Zeitaufwand betrachtet, da Gatter Schaltzeiten haben, welche typischerweise ~10 Pikosekunden betragen. Insgesamt werden bei einem Signaldurchgang auf dem IC sehr viele Gatter durchlaufen. Damit sind die Schaltzeiten um Größenordnungen größer als die reine Laufzeit der Signale auf dem Leiter angegeben (letztere wird vernachlässigt, Zeitverzögerung wird in „Anzahl Gatterlaufzeiten (GLZs)“ angegeben).

4.2 Halbaddierer

Vollzieht die Addition von zwei einstelligen Binärzahlen a und b zu einer zweistelligen Binärzahl $c_{out}s$ (Übertrag und Summe). Schaltsymbol und Schaltnetz des Halbaddierers werden in Abbildung 4.1 dargestellt.

Die folgende Tabelle zeigt den Gedankenweg, wie ein Halbaddierer funktioniert.

Nr.	b	a	c_{out}	s	Minterm	DNF
0	0	0	0	0		$c_{out} = ba$ $s = \bar{b}a \vee b\bar{a}$ \Rightarrow beides gleichzeitig auch DMF
1	0	1	0	1	$\bar{b}a$	
2	1	0	0	1	$b\bar{a}$	
3	1	1	1	0	ba	

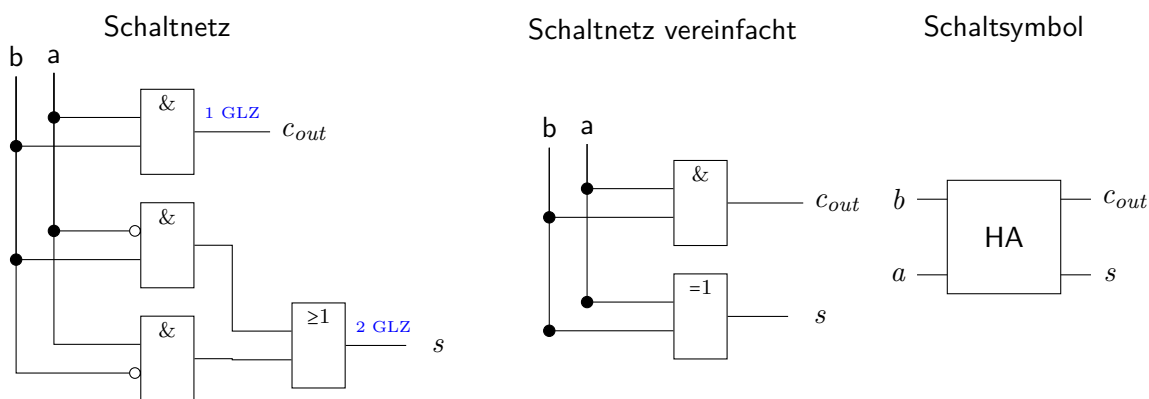


Abbildung 4.1: Halbaddierer – Schaltnetz und Schaltsymbol

4.3 Volladdierer

Vollzieht die Addition von drei einstelligen Binärzahlen a , b und c_{in} zu einer zweistelligen Binärzahl $c_{out}s$ (Übertrag und Summe). Schaltsymbol und Schaltnetz des Volladdierers werden in Abbildung 4.2 dargestellt.

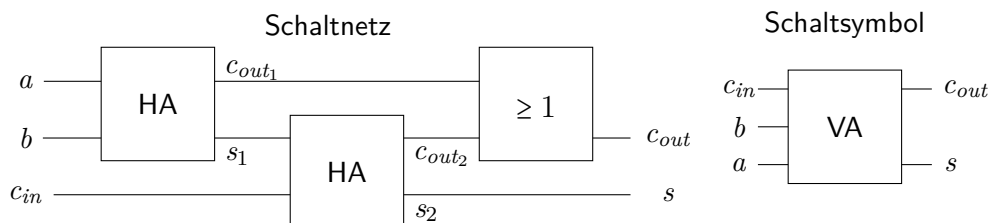


Abbildung 4.2: Volladdierer – Schaltnetz und Schaltsymbol

Hinweis: Für die Verknüpfung von c_{out1} und c_{out2} zu c_{out} wäre eigentlich ein XOR notwendig. Da aber der Fall $c_{out1} = c_{out2} = 1$ (also beide Eingänge des XOR „1“) nie auftritt, reicht ein OR.

4.4 Paralleladdierer (4-Bit-Ripple-Carry-Paralleladdierer RC-PA)

Der RC-PA ist ein mehrstelliger Addierer für Binärzahlen. In den folgenden Beispielen ist er ein Addierer vierstelliger Binärzahlen $a_3 a_2 a_1 a_0$ und $b_3 b_2 b_1 b_0$. Das Ergebnis ist $s_4 s_3 s_2 s_1 s_0$ und somit eine 5-stellige Zahl. s_4 ist der Überlauf.

Abbildung 4.3 zeigt das Schaltnetz und Schaltsymbol eines Paralleladdierers.

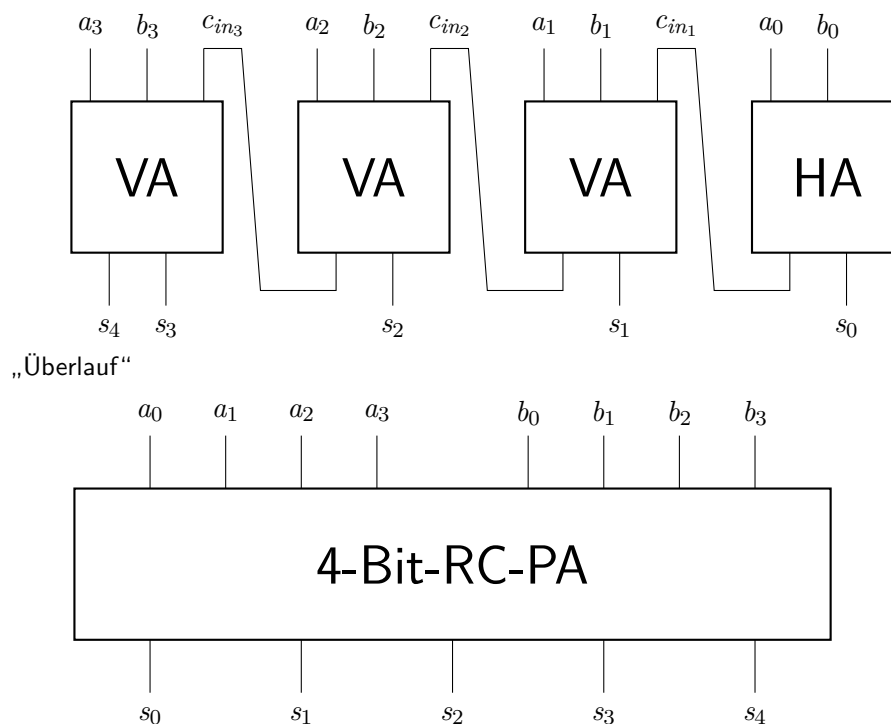


Abbildung 4.3: RC-Paralleladdierer – Schaltnetz und Schaltsymbol

Hinweis

Ein n -Bit RC-PA ist ein Schaltnetz, kein Schaltwerk! Eine zeichnerische Anordnung mit Verbindungen nur nach unten ist nämlich möglich.

4.4.1 Hardwareaufwand des 4 Bit RC-PA

für HA: 2 Transistoren für c_{out} und 6 Transistoren für s \Rightarrow 8 Transistoren

für VA: 2 HA und 2 Transistoren für c_{out} \Rightarrow $2 \cdot 8 + 2 = 18$ Transistoren

Für den 4 Bit RC-PA werden benötigt:

$$\begin{aligned}
 1 \text{ HA} + (n-1) \text{ VA} &\Rightarrow 8 \text{ Transistoren} + (n-1) \cdot 18 \text{ Transistoren} \\
 &\Rightarrow 8 + (18n - 18) \text{ Transistoren} = 18n - 10 \text{ Transistoren} \\
 &= O(n)
 \end{aligned}$$

Dies heißt, dass der HW-Aufwand linear mit der Breite der Summanden steigt. Dies ist gut, denn besseres (also weniger Aufwand) ist kaum zu erwarten.

4.4.2 Zeitaufwand des 4 Bit RC-PA

für HA: max. 2 Gatterlaufzeiten (GLZs) („Tiefe 2“, siehe Abbildung 4.1 auf Seite 9)

für VA: max. 4 Gatterlaufzeiten (GLZs)

Beim RC-PA liegen die einzelnen s_i nach unterschiedlicher Zeit an. s_i wird nach $(i + 1) \cdot 2$ GLZ erreicht. Das längste s_i ist bei n -Bit-RC-PA $i = n - 1$ und damit ergibt sich ein Zeitaufwand bei n -Bit-RC-PA von $2n$ GLZ!

Dies ist ein schlechter Zeitaufwand bei einem Paralleladdierer, denn zu erwarten wäre $O(1)$! *Auswirkung:* Beim Wechsel von 32- auf 64-Bit-CPU hätte sich die Taktfrequenz halbiert. Daraus lässt sich folgern, dass kein 64-Bit-RC-PA in der CPU verbaut ist.

Hinweis

Anmerkung zum RC-PA: Die $2n$ GLZ Zeitaufwand werden nur im „schlimmsten Fall“ bei einer ununterbrochene Kette von c_{out} -Ausgängen, welche sich **alle** im Laufe der Berechnung von 0 auf 1 ändern, erreicht.

Diese Zeit muss aber trotzdem abgewartet werden.

4.5 Paralleladdierer (4-Bit-Carry-Look-Ahead-Paralleladdierer CLA-PA)

Idee: Der c_{in} -Eingang wird nicht von vorausgehenden VA (oder HA) übernommen, sondern durch ein „magisches CLA-Schaltnetz“ nachberechnet. *Genauer:* Für die Berechnung von c_{in_i} müssen alle vorherigen Eingänge $a_j, b_j, j < i$ berücksichtigt werden. Abbildung 4.4 zeigt dieses „magische CLA-Schaltnetz“.

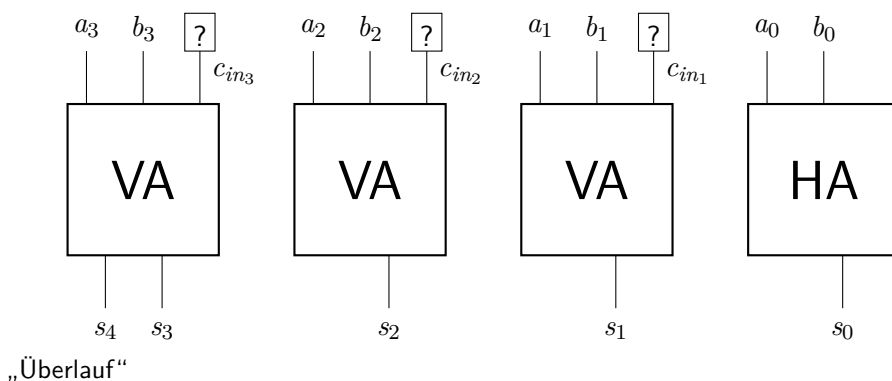


Abbildung 4.4: Carry-Look-Ahead-Paralleladdierer – Schaltnetz

Aber wie sieht das Schaltnetz (und die boolesche Formel) für die Berechnung von c_{in_i} aus?

$$\text{HA : } c_{out} = a \wedge b$$

$$s_{out} = a\bar{b} \vee \bar{a}b$$

$$\text{VA : } c_{out} = (a \wedge b) \vee (c_{in} \wedge (a\bar{b} \vee \bar{a}b))$$

$$c_{in_1} = c_{out_0} = a_0 \wedge b_0$$

HA

$$c_{in_2} = c_{out_1} = (a_1 \wedge b_1) \vee (c_{in_1} \wedge (a_1\bar{b}_1 \vee \bar{a}_1b_1))$$

VA

$$= (a_0 \wedge b_0) \vee (a_0 \wedge b_0 \wedge (a_1\bar{b}_1 \vee \bar{a}_1b_1))$$

Einsetzen

$$c_{in_3} = c_{out_2} = (a_2 \wedge b_2) \vee (c_{in_2} \wedge (a_2\bar{b}_2 \vee \bar{a}_2b_2))$$

VA

$$= (a_2 \wedge b_2) \vee ((a_0 \wedge b_0) \vee (a_0 \wedge b_0 \wedge (a_1\bar{b}_1 \vee \bar{a}_1b_1))) \wedge$$

Einsetzen

$$(a_2\bar{b}_2 \vee \bar{a}_2b_2)$$

...

4.5.1 Zeitaufwand

Für die Berechnung der c_{in_i} kann jeweils eine DNF, DMF oder jede andere DxF (oder KxF) verwendet werden. Diese haben jeweils nur genau (bzw. maximal) 2 GLZ Zeitaufwand.

Insgesamt hat jedes s_i beim CLA-PA genau 6 GLZ Zeitaufwand (außer s_0 : 2 GLZ, s_1 : 5 GLZ). Somit haben wir einen konstanten Zeitaufwand von $O(1)$.

4.5.2 Hardwareaufwand des 4 Bit CLA-PA

Für den Aufwand für die c_{in_i} -Berechnung gilt die Annahme, das Schaltnetz wäre eine Realisierung der DNF.

⇒ Für jedes c_{in_i} gibt es insgesamt $2i$ Eingänge.

⇒ Insgesamt gibt es max. 2^{2i} verschiedene Vollkonjunktionen, welche in der DNF auftreten können.

Jede dieser Vollkonjunktionen wird mit $2i$ Transistoren realisiert.

⇒ Falls alle Vollkonjunktionen verwendet werden müssten, wäre der Hardwareaufwand $2^{2i} \cdot 2i$ Transistoren.

Evtl. nicht korrekt. Die 15er haben da was anderes...

In der Realität werden natürlich nicht alle Vollkonjunktionen benötigt, sondern ein (vermutlich halbwegs konstanter) Anteil $0 < k < i$. Damit ist der Aufwand für $c_{in_i} = O(i \cdot 4^i)$ und somit der Aufwand für n -Bit-CLA-PA: $O(n^2 \cdot 2^n)$

Achtung

Im folgenden wird fälschlicherweise von einem Aufwand $O(n^2 \cdot 2^n)$ ausgegangen. Richtig wäre $O(n^2 \cdot 4^n)$. Herr Röthig hat die O -Notation falsch vereinfacht. Der 2015er Jahrgang hat dies „noch falscher“ gemacht und zu $O(4^n)$ vereinfacht.

Der Hardwareaufwand steigt beim n -Bit-CLA-PA überexponentiell mit n . Beim Wechsel von 32-Bit auf 64-Bit-CLA-PA wäre der 16 Trillionen-fache Aufwand an Transistoren nötig gewesen.

Bei $n = 4$: $4^2 \cdot 2^4 = 16 \cdot 16 = 256$ Transistoren

Bei $n = 8$: $8^2 \cdot 2^8 = 64 \cdot 256 = \sim 16384$ Transistoren (64-fache von $n = 4$) \Rightarrow zu viel für die CPU

Vergleichen:
Siehe Notizen,
etc.

4.5.3 Kombination mehrerer kleinen CLA-PAs

Der 32-Bit Addierer wird in acht 4-Bit-CLA-PA gesplittet (siehe Abbildung 4.5).

\Rightarrow hintereinander geschaltet nach RC-Prinzip

\Rightarrow damit ist das n der nicht-CLA-PA noch klein \Rightarrow erträglicher Hardwareaufwand

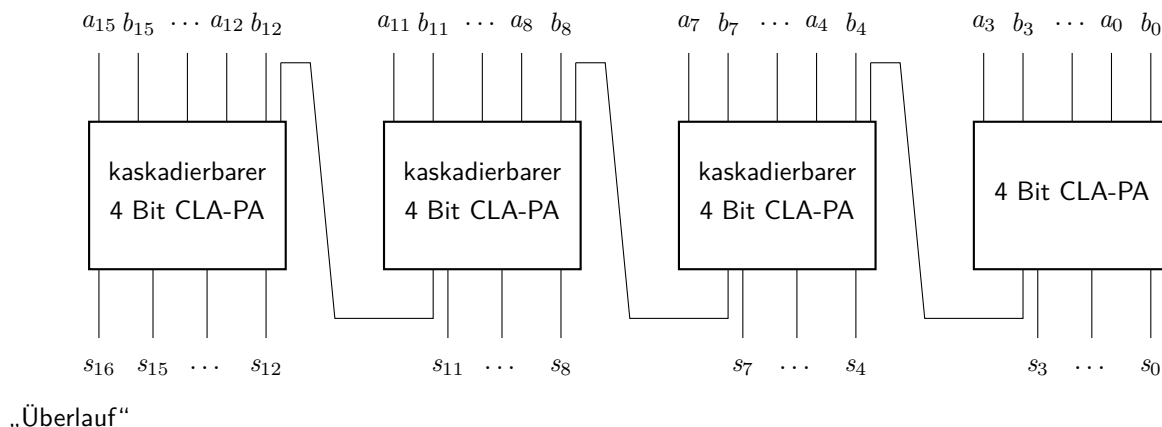


Abbildung 4.5: Kaskadierbarer 4-Bit-CLA-PA

n	RC-PA (18n - 10)	SA (12n + 36)
1	8	48
2	26	60
3	44	72
4	62	84

Tabelle 4.1: Vergleich von Hardwareaufwand eines RC-PA mit dem verbesserten SA

Break-Even („Gewinnschwelle“): $18n - 10 = 12n + 36 \Rightarrow 46 = 6n \Rightarrow n = 7\frac{2}{3}$
 \Rightarrow Ab 8-Bit lohnt sich der SA

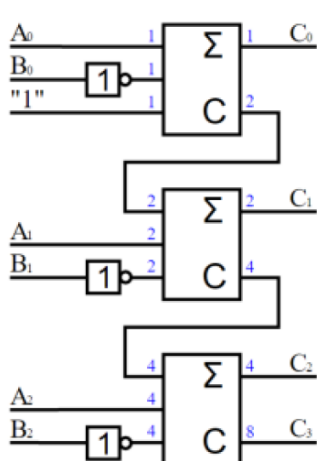
Mögliche Anwendung eines Serielladdierer:

- nicht im Rechenwerk der CPU (aufgrund der Geschwindigkeit)!
 - aber möglicherweise in „Embedded System“, falls z. B. Sensordaten sowieso seriell angeliefert werden
- \Rightarrow eventuell sind sogar weitere Hardware-Einsparungen möglich!

4.7 Subtraktion

Es ist kein spezieller Hardware-Subtrahierer notwendig. Eine Subtraktion wird über die Addition des 2er-Komplements realisiert:

1. Bits invertieren (Inverter)
2. +1 addieren (Addierer)



1. Erstellen eines 3-Bit Addieres
2. B wird negiert
3. +1 im ersten Schritt rechnen. Dafür den ersten Halbaddierer in einen Volladdierer wandeln und eine logische 1 anlegen!

Abbildung 4.9: Schaltnetz Subtrahierer

4.8 Multiplikation

$ \begin{array}{r} 4711 \times 815 \\ \hline 35 \\ 67688 \\ 4711 \\ 23 \\ 23555 \\ \hline 3839465 \end{array} $	<p>Mögliche Probleme / Schwierigkeiten</p> <ol style="list-style-type: none"> kleines 1×1 ist ein wenig Lernaufwand Überträge beim kleinen 1×1 sind möglich Addition von mehr als zwei Ziffern gleichzeitig mehrstellige Überträge bei der Summenbildung möglich für jede Zwischensumme muss der Addierer eine Stelle mehr verarbeiten
---	--

Punkt 5 wird deutlich durch eine Multiplikation einer 6- und 4-stelligen Zahl im Binärsystem „von links nach rechts“, wie sie in Tabelle 4.2 dargestellt wird.

$ \begin{array}{r} 101010 \times 1010 \quad (42 \times 10) \\ \hline 101010 \\ 000000 \quad 7\text{-stellige Addition} \\ \hline 1010100 \quad \text{Zwischensumme} \\ 101010 \quad 8\text{-stellige Addition} \\ \hline 11010010 \quad \text{Zwischensumme} \\ 000000 \quad 9\text{-stellige Addition} \\ \hline 110100100 \quad 10\text{-stelliges Ergebnis} \end{array} $

Tabelle 4.2: Schriftliche Multiplikation „von links nach rechts“

Abhilfe

<table border="1" style="border-collapse: collapse; text-align: center;"> <tr> <td style="padding: 2px;">b</td> <td style="padding: 2px;">a</td> <td style="padding: 2px;">ab</td> </tr> <tr> <td style="padding: 2px;">0</td> <td style="padding: 2px;">0</td> <td style="padding: 2px;">0</td> </tr> <tr> <td style="padding: 2px;">0</td> <td style="padding: 2px;">1</td> <td style="padding: 2px;">0</td> </tr> <tr> <td style="padding: 2px;">1</td> <td style="padding: 2px;">0</td> <td style="padding: 2px;">0</td> </tr> <tr> <td style="padding: 2px;">1</td> <td style="padding: 2px;">1</td> <td style="padding: 2px;">1</td> </tr> </table>	b	a	ab	0	0	0	0	1	0	1	0	0	1	1	1	<ol style="list-style-type: none"> Kleines 1×1 im Binärsystem ist ein einfaches UND Es gibt keine Überträge beim kleinen 1×1 im Binärsystem Bilden von Zwischensummen keine mehrstelligen Überträge bei Addition von zwei Summanden rechten Faktor beginnend mit niederwertigster Stelle abarbeiten, siehe Tabelle 4.3
b	a	ab														
0	0	0														
0	1	0														
1	0	0														
1	1	1														

$ \begin{array}{r} 101010 \times 1010 \quad (42 \times 10) \\ \hline 000000 \quad \mathbf{0} \\ 101010 \quad p_0 \\ \hline 101010 \quad \mathbf{0} \\ 000000 \quad p_1 \\ \hline 010100 \quad \mathbf{1} \\ 101010 \quad p_2 \\ \hline 0110100 \\ p_9 p_8 p_7 p_6 p_5 p_4 p_3 \end{array} $

Tabelle 4.3: Schriftliche Multiplikation „von rechts nach links“

4.8.1 Multiplikation mit Paralleladdierer

Ein $n \times m$ -Bit-Parallelmultiplizierer (PM), bspw. ein 5×4 -Bit-Parallelmultiplizierer ist in Abbildung 4.10 dargestellt.

Schaltnetz

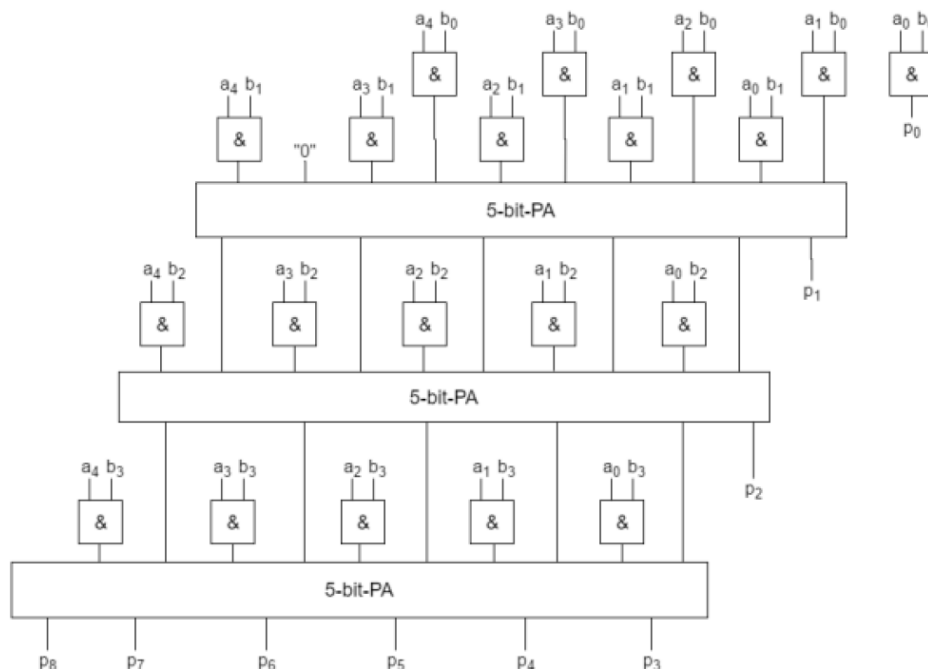


Abbildung 4.10: 5-Bit Parallelmultiplizierer

Hinweis zur Abbildung

Unbedingt auf die „0“ als Eingang achten! Ansonsten gibt es in der Klausur punktabzug!

Hinweis

In der Klausur muss evtl. ein 4-Bit Parallelmultiplizierer gezeichnet werden, also nicht mit 5 oder 6 Bit.

Analyse: Hardwareaufwand für die Multiplikation mit Paralleladdierer

Benötigt werden:

- $m - 1$ n -Bit-PA
- $n \cdot m$ UND mit jeweils 2 Eingängen $\Rightarrow 2 \cdot n \cdot m$ Transistoren

Somit ergibt sich bei...

... Verwendung eines **RC-PA**:

$\Rightarrow n$ -Bit-RC-PA: $18n - 10$ Transistoren

\Rightarrow davon $m - 1$: $(m - 1)(18n - 10)$ Transistoren = $18nm - 18n - 10m + 10$ Transistoren
 \Rightarrow Insgesamt: $20nm - 18n - 10m + 10$ Transistoren $\Rightarrow O(n)$

... Verwendung eines **CLA-PA**

- n -Bit-CLA-PA: $\approx O(n \cdot 2^n)$
- \Rightarrow davon $m - 1$: $(m - 1) \cdot O(n \cdot 2^n) = O(n \cdot m \cdot 2^n)$

Hier bei verschiedenen großen Faktoren also besser $m > n$ bei Carry-Look-Ahead-Paralleladdierer (CLA-PA)) für geringeren HW-Aufwand.

Demgegenüber bei Verwendung von RC-PA: Besser $n > m$ für geringeren HW-Aufwand.

Besser umformulieren

Analyse: Zeitaufwand für die Multiplikation mit Paralleladdierer

1 GLZ für einstellige Multiplikation (UND-Gatter) sowie $(m - 1) \times$ Berechnungszeit(n -Bit-PA)

1. Annahme: PA sind n -Bit-RC-PA.

Berechnungszeit eines n -Bit-RC-PA: $2n$ GLZ

Insgesamt: $1 + (m - 1) \cdot 2n = 2nm - 2n + 1$ GLZ

Damit besser $n > m$ bei Verwendung von RC-PA um geringeren Zeitaufwand zu bekommen.

2. Annahme: PA sind n -Bit-CLA-PA

Berechnungszeit eines n -Bit-CLA-PA: 6 GLZ

Insgesamt: $1 + (m - 1) \cdot 6$ GLZ = $6m - 5$ GLZ = $O(m)$

damit: besser $n > m$ bei Verwendung von CLA-PA, um geringeren Zeitaufwand zu bekommen

⚡ zu großer HW-Aufwand (wächst exponentiell mit n)

Kontrollieren...

Hinweis für die Klausur

Logarithmischen Aufwand für CLA-PA auf Wikipedia nachschauen. Dies wird wahrscheinlich in der Klausur abgefragt! Unserer Variante hat exponentiellen Hardwareaufwand und konstanten Zeitaufwand. Die Variante auf Wikipedia nicht.

4.8.2 Seriellmultiplizierer

Motivation: Noch engere Anlehnung an das schriftliche Multiplikationsverfahren, um den Aufwand für die Addierglieder gering zu halten.

Siehe Abbildung 4.11.

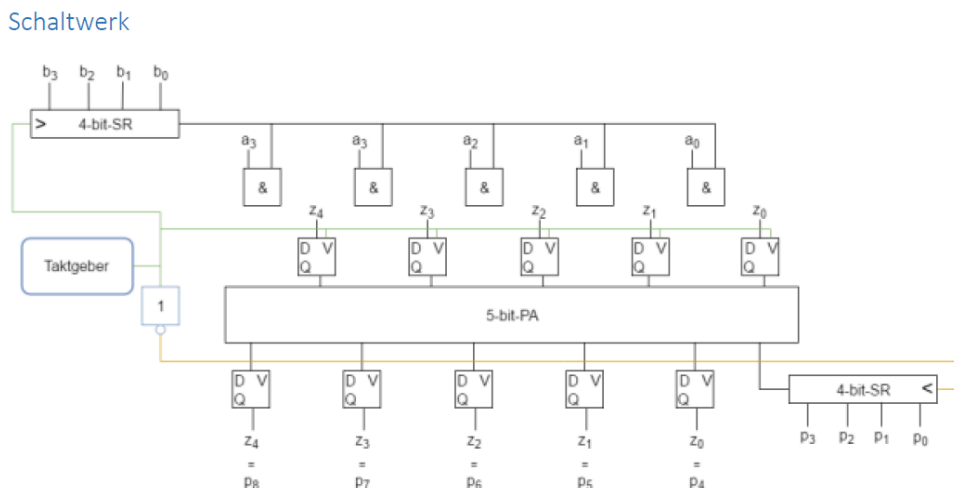


Abbildung 4.11: 5-Bit Seriellmultiplizierer

Hinweis

Vor dem ersten Takt müssen alle D-FF auf 0 gesetzt werden („Reset-Eingang“ oder ähnliches)

Analyse: Hardwareaufwand für $n \times m$ -Seriellmultiplizierer

Benötigt werden:

- n -Bit-PA $\Rightarrow n$ -Bit-RC-PA $\Rightarrow 18n - 10$ Transistoren
- n UND mit jeweils 2 Eingängen $\Rightarrow 2$ Transistoren
- $2n$ D-FFs $\Rightarrow 12n$ Transistoren
- $2m$ -Bit-SR $\Rightarrow 12m$ Transistoren
- Takterzeugung (wird im folgenden nicht berücksichtigt)

gesamt: $18n - 10 + 2n + 12n + 12m = 32n + 12m - 10$ Transistoren

$\Rightarrow O(n + m)$

Analyse: Zeitaufwand für $n \times m$ -Seriellmultiplizierer mit RC-PA

Zeitaufwand: m Taktzyklen

Mindestdauer eines halben Taktzyklus: Berechnungszeit „innen“

$$\begin{aligned} \frac{1}{2} \text{ Taktzyklus} &\geq \text{Auslesezeit(SR)} + \text{UND} + n\text{-Bit-PA} + \text{Einlesezeit(SR)} \\ &= 1 + 1 + 2n + 1 = 2n + 3 \text{ GLZ} \end{aligned}$$

$\Rightarrow 1$ Taktzyklus $\geq 4n + 6$ GLZ

gesamt: $\geq m \cdot (4n + 6) = 4mn + 6m = O(nm)$

Kontrollieren

4.9 Division

$$\begin{array}{r}
 47 \ 11 : 13 = 0362, \dots \\
 \underline{0} \\
 47 \\
 \underline{39} \\
 81 \\
 \underline{78} \\
 31 \\
 \underline{26} \\
 5
 \end{array}$$

Die Division wird runter gebrochen auf mehrere Divisionen mit einstelligen Ergebnissen.

Dies ist recht komplex bei einem großem Divisor. Aber im Binärsystem ist es ein einfacher Größenvergleich, da das einstellige Ergebnis nur 1 oder 0 sein kann.

(besser wäre Integration in anschließend notwendiger Subtraktion)

Trotzdem bleiben einige Schritte zu tun, was aufwändig ist. In heutigen CPUs ist deshalb (meist) kein Hardware-Dividierer eingebaut.

Grund: Die Division wird deutlich seltener als Addition, Subtraktion und Multiplikation gebraucht.

Stattdessen: Division „in Software“/„als Programm“, z. B. als Bibliotheksroutine („Funktion“), evtl. bereitgestellt vom Betriebssystem oder als Mikroprogramm, welches Bestandteil der CPU ist und aufgerufen wird, wenn ein entsprechender Maschinensprachenbefehl ausgeführt werden soll.

4.10 CPUs

In Tabelle 4.4 werden RISC und CISC verglichen.

Reduced Instruction Set Computer (RISC)	Complex Instruction Set Computer (CISC)
für jeden Maschinensprachenbefehl gibt es eine „passende“ Hardwareeinheit	manche Maschinensprachenbefehle werden als Mikroprogramm ausgeführt
<ul style="list-style-type: none"> ⊕ Einheit für Mikroprogrammausführung kann bei der Produktion entfallen (CPU weniger komplex) ⊖ CPU wird komplex, falls die Forderung nach komplexen Befehlen in Maschinensprache realisiert, besteht. ⊕ jeder Befehl kann in wenigen (und jeweils einer festen Zahl an) Taktzyklen ausgeführt werden. 	<ul style="list-style-type: none"> ⊕ komfortables Programmieren in Maschinensprache ⊖ bei manchen Befehlen (welche als Mikroprogramm ausgeführt werden) ist die Bearbeitungszeit sehr groß und variabel. ⊖ Mikroprogramme sind Software, komplex und fehleranfällig, ggf. Austausch der CPU für „Bugfix“ notwendig (vgl. Intel Pentium FDIV Bug)
Einsatz	
PowerPC-CPU in Apple-Rechnern bis vor 10 Jahren oft in „embedded systems“ (Bsp. ARM)	Intel-CPU's in heutigen Universalrechnern (und AMD-Äquivalent)

Tabelle 4.4: Vergleich von RISC und CISC

5 Speicher in Computern

5.1 Speicherhierarchie

Tabelle 5.1 zeigt die Speicherhierarchie in modernen Universalrechnern

Speicher	von-Neumann-Rechner	Persistenz	Größe	Zugriffszeit
CPU-Register	Zentraleinheit (Rechen- und Steuerwerk)	flüchtig	< 1kB Byte	≈ 200ps
Cache („CPU-Cache“)	nicht vorhanden	flüchtig	~4MB L1≈64KB L2≈512KB	≈ 10ns
Hauptspeicher/ Primärspeicher	Speicherwerk	flüchtig	~8GB	≈ 100ns L1 schneller
Sekundärspeicher	Peripheriegeräte an Ein- und Ausgabe- werk	nicht flüchtig	HDD: 3T SSD: 512GB opt. LW: bis 100GB BLW: wenige TB	HDD ≈ 10ms SSD ≈ 10μs opt. LW ≈ 1s BLW ≈ 1min

Tabelle 5.1: Speicherhierarchie und -Daten

5.2 Sekundärspeicher

Motivation für Sekundärspeicher: nicht-flüchtig, d. h. der Speicherinhalt bleibt auch bei Stromausfall erhalten.

Anwendungen:

- Programmcode (Betriebssystem, Anwendungsprogramme)
- Nutzdaten
- virtuelle Erweiterung des Speicherwerks (Swap-Datei/-Partition)
- Hibernation („Ruhezustand“)

5.3 CPU-Cache

Temporärer, flüchtiger, schneller Zwischenspeicher, um auf Informationen aus dem Hauptspeicher schneller zugreifen zu können.

Eigenschaften des Cache:

- flüchtig

- kleiner als das zu cachende Medium (Hauptspeicher)
- schneller als das zu cachende Medium (Hauptspeicher)
- transparent, d. h. es wird nicht auf den Cache, sondern auf das zu cachende Medium logisch zugegriffen (die CPU adressiert den Hauptspeicher und nicht den Cache)
- konsistent, d. h. alle Instanzen derselben Hauptspeicheradresse (HSA) haben denselben Wert
- kohärent, d. h. beim Zugriff auf eine HSA wird immer der aktuelle Wert geliefert

Anmerkung: Kohärenz und Konsistenz

Kohärenz ist Pflicht und Konsistenz ist Wunsch, da aus Konsistenz Kohärenz folgt. Zeitweise kann aber auf Konsistenz verzichtet werden.

5.3.1 Lokalität des Zugriffsmusters

Verantwortlich dafür, dass der Cache Geschwindigkeitsvorteile bringen kann.

räumliche Lokalität Wenn auf eine Adresse zugegriffen wird, wird auch auf naheliegende Adressen zugegriffen.

zeitlich Lokalität Die Zugriffe (auf nahe beieinanderliegende Adressen) erfolgen in relativ geringem zeitlichen Aufwand

Hinweis

Hinweis: Insbesondere die räumliche Lokalität ist beim Zugriff auf Programmcode und Nutzdaten sehr unterschiedlich (Programmcode: sequentiell, Nutzdaten zufällig innerhalb von Speicherblöcken).

⇒ Moderne CPUs weisen getrennte Caches für Programmcode und Nutzdaten auf!

5.3.2 Begriffe

Hit Zugriff auf Hauptspeicher-Daten, welcher aus dem Cache bedient werden kann

Miss Zugriff auf Hauptspeicher-Daten, welcher *nicht* aus dem Cache bedient werden kann und deshalb der Cache die Daten erst aus dem Hauptspeicher holen muss.

Hit-Rate Anteil der „erfolgreichen“ Zugriffe an allen Zugriffen.

$$\text{Hit-Rate} = \frac{\#\text{Hits}}{\#\text{Zugriffe}}$$

Miss-Rate Anteil der „nicht erfolgreichen“ Zugriffe an allen Zugriffen.

$$\text{Miss-Rate} = \frac{\#\text{Misses}}{\#\text{Zugriffe}}$$

Zugriffe Anzahl der Misses plus der Hits

Anwendung:	$0 \leq \text{Hit-Rate} \leq 1$ $0 \leq \text{Miss-Rate} \leq 1$ $\text{Hit-Rate} + \text{Miss-Rate} = 1$	Ziel:	$\text{Hit-Rate} \rightarrow 1$ (nicht realistisch) $\text{Hit-Rate} \rightarrow 0$ $\text{Hit-Rate} \rightarrow \text{systembedingtes Maximum}$ (realistisch)
-------------------	---	--------------	---

systembedingtes Maximum hängt ab von

- Lokalität des Zugriffsmusters
- Größe (und Größenverhältnis) von Cache und Hauptspeicher

Hinweis: $\text{Hit-Rate}_{\text{erreicht}} \geq \frac{\text{Größe (Cache)}}{\text{Größe HS}}$ (Wahrscheinlichkeit, das ein beliebiger Zugriff eine bereits im Cache gespeicherte Adresse betrifft)

⇒ sobald das Zugriffsmuster Lokalität aufweist, ergibt sich eine bessere Hit-Rate

5.3.3 Betriebszustände des Cache

kalter Cache bei Betriebsbeginn ist der Cache leer

sich erwärmender Cache Während des Betriebs wird der Cache mit immer mehr Daten geladen und die Hit-Rate steigt.

heißer Cache Der Cache ist (nahezu) voll nach einer gewissen Betriebszeit. Die Hit-Rate erreicht das systembedingte Maximum.

5.3.4 Cachearchitekturen

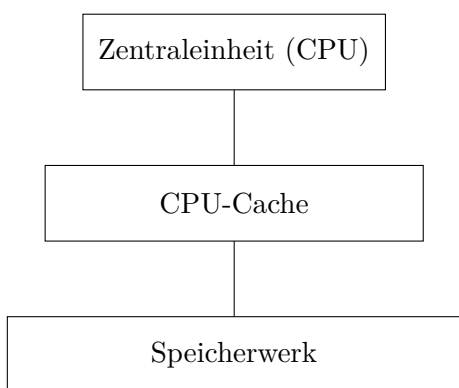


Abbildung 5.1: Look-Through-Cache

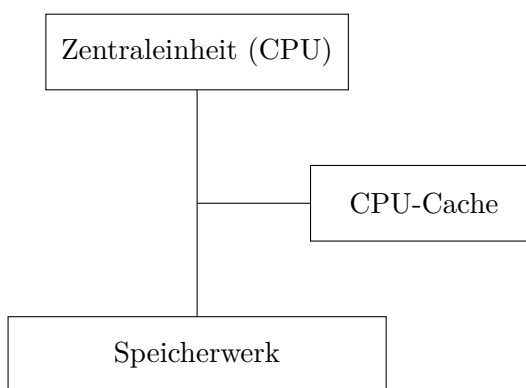


Abbildung 5.2: Look-Aside-Cache

Look-Through-Cache

Wie in Abbildung 5.1 zu sehen, ist die CPU nur mit dem Cache und der Hauptspeicher ebenfalls nur mit dem Cache verbunden.

Look-Aside-Cache

In Abbildung 5.2 sind CPU, Cache und HS über einen Bus miteinander verbunden. Die Anfrage durch die CPU geht auf dem Bus an beide und

CPU greift über den Cache auf den Hauptspeicher zu:

- ⊖ $t_{\text{Miss}} = t_{\text{Cache}} + t_{\text{HS}}$
Zugriffszeit bei Miss größer als ohne Cache
- ⊕ optimale Konsistenz

ggf. antworten beide, d. h. die schnellere Antwort gewinnt.

- ⊕ $t_{\text{Miss}} > t_{\text{HS}}$
Zugriffszeit bei einem Miss genauso wie ohne Cache \Rightarrow immer „beste“ Zugriffszeit
- ⊖ Bus braucht Zugriffsprotokoll mit Overhead \Rightarrow langsamer als 1:1 Verbindung
- ⊖ Konsistenz durch zweite Antwort potentiell gefährdet

5.3.5 Schreibstrategie

Write-Back

Schreibzugriff durch die CPU findet im Cache statt und der Cache aktualisiert die Daten bei nächster Gelegenheit im Hauptspeicher.

- ⊖ zeitwertige Inkonsistenz der Daten
- ⊕ Schreiben in Cache-Geschwindigkeit möglich

Write-Through

Schreibzugriffe durch die CPU findet im Hauptspeicher statt. Parallel dazu müssen die Daten im Cache invalidiert (schlecht) oder ebenfalls geschrieben werden (gut).

- ⊕ optimale Konsistenz der Daten
- ⊖ Schreiben nur in Hauptspeicher-Geschwindigkeit möglich

Cachearchitektur	Write-Back	Write-Through
Schreibstrategie		
Look-Through	⊕ gute klassische Kombination, da die physische Gegebenheit vorhanden sind, um direktes Schreiben in Cache und Rückschreiben vom Cache in HS zu ermöglichen	⊖ Kombination nicht möglich, da kein direkter Zugriff der CPU auf HS physisch gegeben ist.
Look-Aside	⊖ schlechte Kombination, da bei jedem Schreibzugriff der Bus zweimal belastet wird	⊕ gute klassische Kombination, da Schreibzugriffe parallel im HS und Cache physisch gut machbar

5.3.6 Cache-Aufbau

Hauptspeicherseite (HSS) gleich große Speicheranteile des Hauptspeichers. Eine HSS sollte 2^m HSA beinhalten, um eine einfache Umrechnung von HSS-Nummern und HSA zu ermöglichen.

Cache Line (CL) Kopie einer Hauptspeicherseite im Cache

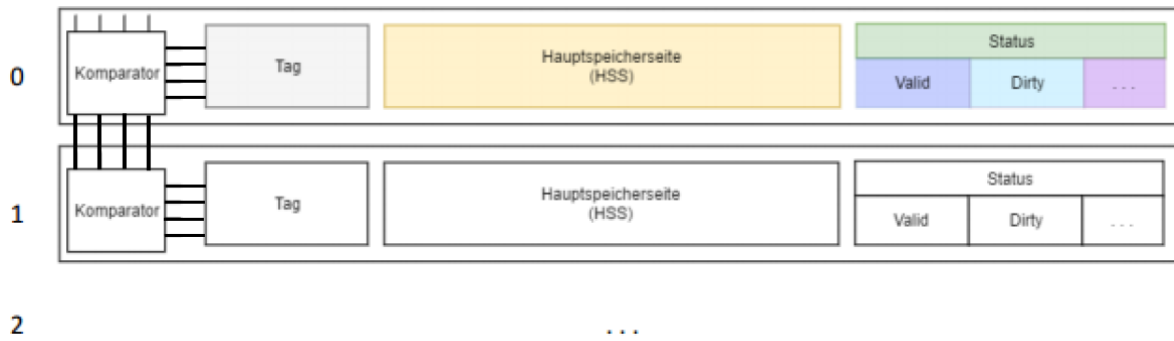


Abbildung 5.3: Aufbau des Caches

Tag Die um m niederwertigsten Bit gekürzte HSA, welche der HSS-Nummer entspricht.

Status Zustandsinfo zur Cache-Line, z. B. Valid-Flag und weiter Zustandsinfos abhängig von Verdrängungsstrategie

Valid-Flag Die Daten werden im Cache geändert und müssen noch in den HS zurückgeschrieben werden (nur bei Write-Back-Schreibstrategie)

5.3.7 vollassoziativer Cache

Jede Hauptspeicherseite kann in jeder Cache Line eingelagert werden (nicht gleichzeitig!)

⇒ bei jedem Zugriff auf eine Hauptspeicheradresse (HSA) muss überprüft werden, ob die gekürzte HSA einem der Tags von validen Cache Line entspricht!

⇒ Vergleichen der gekürzten HSA mit allen Tags (von validen CL)

Wie kann verglichen werden? Welche Möglichkeiten des Vergleichs gibt es?

- sequentiell ⇒ Nachteil: erhöhte Zugriffszeit
- Parallel ⇒ gleichzeitiges Vergleichen der angelegten (gekürzten) HSA mit allen Tags über jeweils einen eigenen Komparator in jeder CL.
Nachteil: Hardware-Aufwand für Komparator in jeder CL.

Einschub: Schaltungssynthese Komparator

Hier: Schaltnetz, welches zwei Zahlen auf Gleichheit, Größer und Kleiner vergleicht.



Abbildung 5.4: n -Bit-Komparator

Möchte man eine Wertetabelle für einen n -Bit-Komparator erstellen, sieht man, dass zu viele Zeilen in der Wertetabelle ($2^{2n} \dots$) sind \Rightarrow besser mit kaskadierbaren 1-Bit-Komparatoren

Komparator für Gleichheit

Hinweis: im Cache reicht der Vergleich auf Gleichheit. Abbildung 5.5 zeigt 1-Bit-Komparatoren für einen Gleichheits-Komparator.

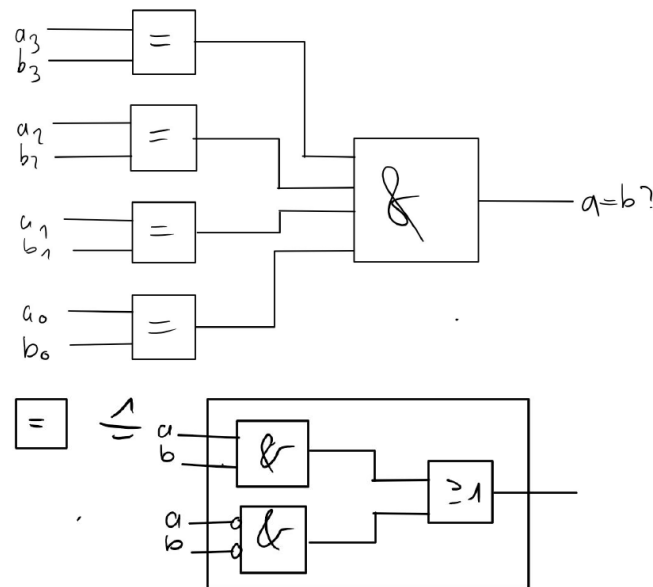


Abbildung 5.5: Aufbau des Gleichheits-Komparators im Cache

Komparator

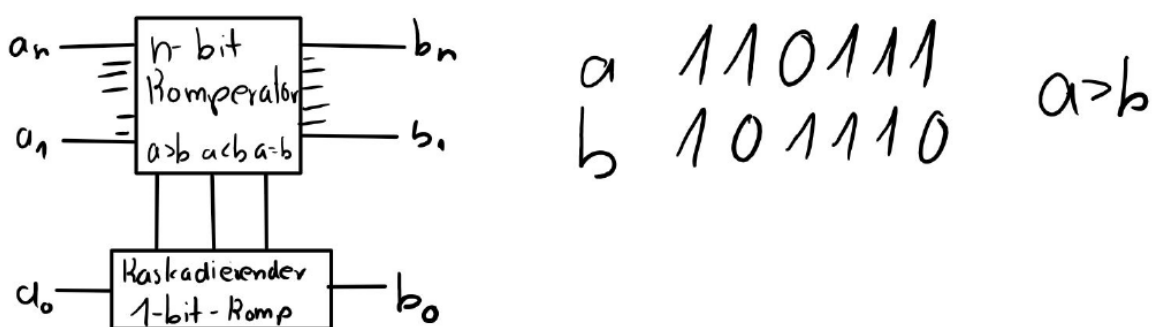


Abbildung 5.6: Aufbau des n -Bit-Komparator aus kaskadierbaren 1-Bit-Komparatoren

Aus Abbildung 5.6 ergibt sich folgende Tabelle:

b_n	a_n	$a > b_{in}$	$a = b_{in}$	$a < b_{in}$	$a > b_{out}$	$a = b_{out}$	$a < b_{out}$
0	0	0	0	1	0	0	1
0	0	0	1	0	0	1	0
0	0	1	0	0	1	0	0
0	1	x	x	x	1	0	0
1	0	x	x	x	0	0	1
1	1	0	0	1	0	0	1
1	1	0	1	0	0	1	0
1	1	1	0	0	1	0	1

Somit ergibt sich als Schaltnetz für einen 4-Bit-Komparator die Abbildung 5.7

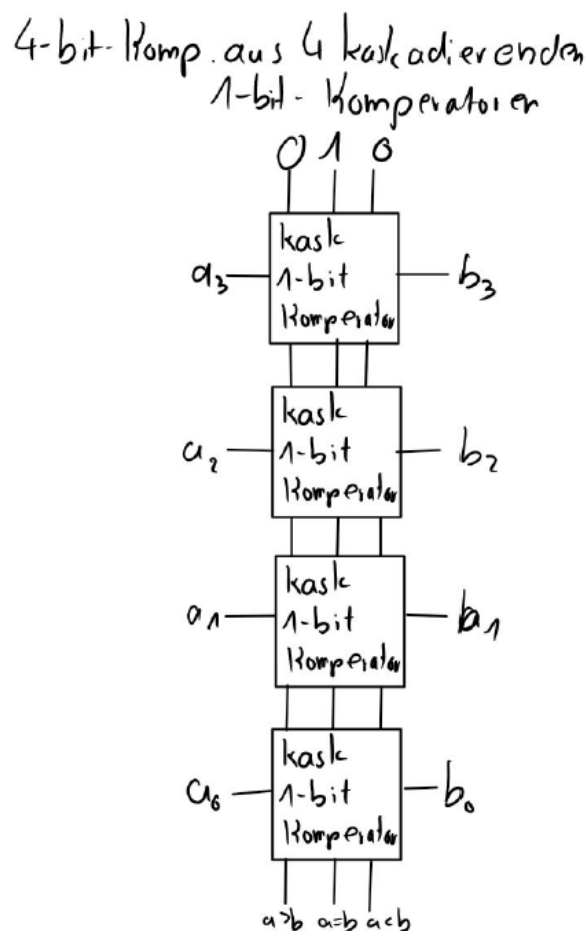


Abbildung 5.7: kaskadierbarer 4-Bit-Komparator

HW-Aufwand für einen kaskadierbaren 1-Bit-Komparator

HW: 42 Transistoren

Zeit: 2GLZ

Im Cache reicht der Vergleich auf Gleichheit aller Ziffern parallel:

- 2 n -Bit-Zahlen: n Äquivalenzgatter und 1 UND mit n Eingängen. (vergleiche Abbildung 5.5)

⇒ 7n Transistoren HW-Aufwand

⇒ 3GLZ Zeitaufwand

Formatieren,
etc

6 Abkürzungsverzeichnis

BLW	Bandlaufwerk	
CISC	Complex Instruction Set Computer	21
CL	Cache Line	25
CLA-PA	Carry-Look-Ahead-Paralleladdierer	19
CPU	Central Processing Unit	
D-FF	D-Flip-Flop	
DMF	Disjunktive Minimalform	8
DNF	Disjunktive Normalform	8
ENIAC	Electronic Numerical Integrator and Computer	
IC	Integrated Circuit	
GLZ	Gatterlaufzeit	8
HA	Halbaddierer	
HS	Hauptspeicher	
HSA	Hauptspeicheradresse	23
HSS	Hauptspeicherseite	25
HW	Hardware	
LW	Laufwerk	
PC	Personal Computer	
PA	Paralleladdierer	
PM	Parallelmultiplizierer	18
RC-PA	Ripple-Carry-Paralleladdierer	
RISC	Reduced Instruction Set Computer	21
SA	Serielladdierer	14
SR	Schieberegister	14
UNIVAC	Universal Automatic Computer	
VA	Volladdierer	

Abbildungsverzeichnis

3.1	Funktionsweise Kathodenstrahlröhre [Quelle: Wikipedia]	4
3.2	Vereinfachte Darstellung der von-Neumann-Architektur	5
3.3	Vereinfachte Darstellung der Harvard-Architektur	6
4.1	Halbaddierer – Schaltnetz und Schaltsymbol	9
4.2	Volladdierer – Schaltnetz und Schaltsymbol	9
4.3	RC-Paralleladdierer – Schaltnetz und Schaltsymbol	10
4.4	Carry-Look-Ahead-Paralleladdierer – Schaltnetz	11
4.5	Kaskadierbarer 4-Bit-CLA-PA	13
4.6	Serielladdierer	14
4.7	Schieberegister und D-Flip-Flop	15
4.8	Serielladdierer mit Hardwareoptimierung	15
4.9	Schaltnetz Subtrahierer	16
4.10	5-Bit Parallelmultiplizierer	18
4.11	5-Bit Seriellmultiplizierer	20
5.1	Look-Through-Cache	24
5.2	Look-Aside-Cache	24
5.3	Aufbau des Caches	26
5.4	n -Bit-Komparator	26
5.5	Aufbau des Gleichheits-Komparators im Cache	27
5.6	Aufbau des n -Bit-Komparator aus kaskadierbaren 1-Bit-Komparatoren	27
5.7	kaskadierbarer 4-Bit-Komparator	28

Tabellenverzeichnis

3.1	Vergleich der von-Neumann- und Harvard-Architektur	7
4.1	Vergleich von Hardwareaufwand eines RC-PA mit dem verbesserten SA	16
4.2	Schriftliche Multiplikation „von links nach rechts“	17
4.3	Schriftliche Multiplikation „von rechts nach links“	17
4.4	Vergleich von RISC und CISC	21
5.1	Speicherhierarchie und -Daten	22

Listingsverzeichnis

Stichwortverzeichnis

<p>A</p> <p>Addition 8</p> <p>C</p> <p>Cache</p> <p style="padding-left: 20px;">Architektur 24</p> <p style="padding-left: 20px;">erwärmender Cache 24</p> <p style="padding-left: 20px;">heißer Cache 24</p> <p style="padding-left: 20px;">kalter Cache 24</p> <p style="padding-left: 20px;">Look-Aside 24</p> <p style="padding-left: 20px;">Look-Through 24</p> <p>CISC 21</p> <p>D</p> <p>Division 21</p> <p>DMF 8</p> <p>DNF 8</p> <p>H</p> <p>Halbaddierer 9</p> <p>Harvard-Architektur 5</p> <p>Hit-Rate 23</p> <p>L</p> <p>Lokalität 23</p>	<p>M</p> <p>Miss-Rate 23</p> <p>Multiplikation 17</p> <p>P</p> <p>Paralleladdierer</p> <p style="padding-left: 20px;">CLA-PA 11</p> <p style="padding-left: 20px;">RC-PA 10</p> <p>R</p> <p>RISC 21</p> <p>S</p> <p>Schaltnetz 8</p> <p>Schaltungsanalyse 8</p> <p>Schaltwerk 8</p> <p>Serielladdierer 14</p> <p>Speicher 22</p> <p>Subtraktion 16</p> <p>V</p> <p>Volladdierer 9</p> <p>von-Neumann-Architektur 4</p> <p>Z</p> <p>Zeitaufwand 8</p>
--	--